

シュラウド板で架構した回転翼の振動に関する 近似計算と模型実験

Approximate Calculation and Model Tests Concerning Vibrations
of Rotating Blades with Shroud Band

小堀 与一* 大森 基次* 桑野 幸三**
Yoichi Kobori Motoji Omori Kôzô Kumeno

内 容 梗 概

シュラウド板で架構した翼の1次固有振動数が回転中遠心力のため静止時に比較してどう変わるかを明らかにする目的で、遠心力係数に関し近似計算と実験を均一断面および翼幅一定のくさび状先薄断面翼について行なった。シュラウド板の質量を0、剛性を無限大とした近似的条件すなわち根元固定翼端ローラという条件で、周知の計算法により係数を求め、これと自由翼の係数と比較した。係数は翼厚比(翼端厚と根元厚の比)が1.00~0.25の範囲では差が数%で一致し、翼厚比が0.25より小になると架構翼の係数が数十%高くなった。7枚を一群として架構した模型翼について実験的に係数を定めた結果では翼厚比が1および0.5の場合では、前記架構翼の計算値より2~3%低くなったが、ほぼ一致した。

1. 緒 言

蒸気タービン翼は翼端がシュラウド板で架構されるものが多い。このような翼の静止時の固有振動数に関しては、計算、実験ともすでに数多く研究されているが^{(1)~(3)}、回転時の固有振動数がどうかについてはあまり研究されていないようである。タービン翼の設計において振動数計算をする場合、最終的に必要なのは回転中の固有振動数である。前に回転翼の振動として自由翼すなわち翼端が架構されていない状態の、翼幅一定、翼厚が直線状に先薄となったくさび状翼について1次振動の計算および実験結果を報告した⁽⁴⁾。本報ではこれと同じ形状で翼端がシュラウドで架構された場合の回転時の1次振動(ただし振動方向が回転面と直角の振動)の固有振動数について実験および近似計算(計算はシュラウドのこわさ無限大、質量零とするすなわちローラ端の条件とした)を行なった結果を報告する。

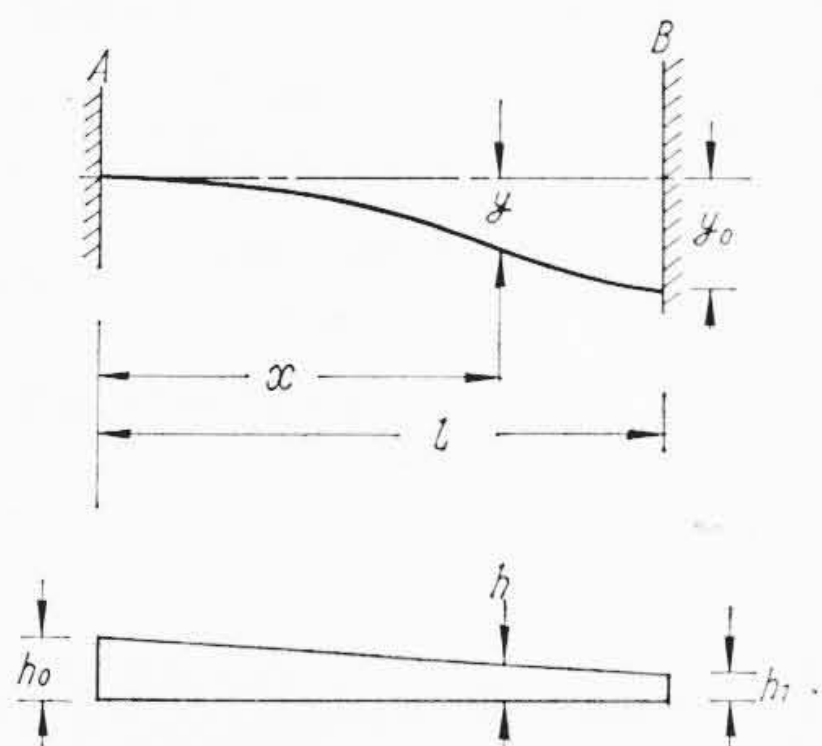
2. 遠心力係数の計算

2.1 計 算 式

回転時の翼の固有振動数 f (c/s)を求めるには、通常静止時の振動数 f_0 (c/s)を周知の式

$$f_0^2 = \frac{g}{(2\pi)^2} \frac{\int_0^l EI \left(\frac{d^2y}{dx^2} \right)^2 dx}{\int_0^l r Ay^2 dx} \dots\dots\dots (1)$$

により、また翼に弾性がなく遠心力による復原力のみ作用したと考



このたわみ曲線は両端固定はりの中央に集中荷重のある場合の左半分のたわみ曲線に等しい。
第1図 一端固定一端ローラはりのたわみ曲線

* 日立製作所日立研究所
** 日立製作所日立工場

えた場合の項 $B(\omega/2\pi)^2$ の係数 B (これを遠心力係数という)を

$$B = \frac{\int_0^l A(R+x) dx \int_0^x \left(\frac{dy}{dx} \right)^2 dx}{\int_0^l Ay^2 dx} \dots\dots\dots (2)$$

により求め、最後に

$$f^2 = f_0^2 + B \left(\frac{\omega}{2\pi} \right)^2 \dots\dots\dots (3)$$

として f を求めるのが普通である⁽⁵⁾。

- ここに l : 翼 長
- x : 翼根元から測った翼上の位置
- A : x 点における翼断面積
- y : x の関数で翼の振動のたわみ曲線を表わす
- R : ボス半径すなわち軸心から翼根元までの距離
- g : 重力の加速度

本報において、翼はくさび状としたから x なる位置の断面積 A は根元の断面積を A_0 とすれば

$$A = A_0(1+mx) \dots\dots\dots (4)$$

ここに、 m は厚さのこう配を表わす負の定数である。

(2)式の右辺を計算するのが主目的で、そのためにはたわみ曲線 y を x の簡単な関数として表わさなくてはならない。一般にシュラウドで架構された翼のたわみ形状は複雑であるが、シュラウドのこわさが十分大で、質量が十分小さく、翼数が十分多ければ翼のたわみ形状は近似的に1端固定1端ローラ、すなわち翼は第1図のように両端固定のくさび状はりの厚さの薄いほうの端をはりと直角にずり下げるようなたわみ方をすると仮定してよいであろう。第1図ははりのB側端に集中荷重と曲げモーメントが加わった場合のたわみを表わす。振動数計算からは自重と曲げモーメントによるたわみ曲線を採用したほうが正しい結果が得られるが、たわみの式が複雑になりBの計算が困難になる。しかし、その割合に集中荷重の作用した場合と変わらないので、第1図のたわみを仮定して計算をすることにする。

第1図を参照し、曲げモーメントの公式より

$$\frac{d^2y}{dx^2} = -\frac{M}{EI}, \quad M = -M_A + R_Ax$$

であるから

$$\begin{aligned} \frac{d^2y}{dx^2} &= \frac{12}{bh_0^3E} \cdot \frac{M_A - R_Ax}{(1+mx)^3} \\ &= k \cdot \frac{M_A - R_Ax}{(1+mx)^3} \dots\dots\dots (5) \end{aligned}$$

ただし

$$h = h_0 - \frac{h_0 - h_1}{l} x = h_0(1 + mx)$$

$$m = -\frac{h_0 + h_1}{h_0 l}$$

$$I = \frac{1}{12} b h^3 = \frac{b h_0^3}{12} (1 + mx)^3 = I_0 (1 + mx)^3$$

R_A および M_A はそれぞれ A 点に作用するせん断力およびモーメントである。

均一断面翼では $m=0$ であるから、(5) 式を積分し端条件

$$x=0; \quad \frac{dy}{dx} = y = 0$$

$$x=l; \quad \frac{dy}{dx} = 0, \quad y = y_0$$

を用い、

$$y = \frac{x^2}{l^3} y_0 (3l - 2x)$$

$$= k_5 (3lx^2 - 2x^3) \dots\dots\dots (6-1)$$

を得る。ただし

$$k_5 = \frac{y_0}{l^3}$$

$m \neq 0$ または $m \neq -1/l$ なる場合の一般式としては

$$\frac{1}{k} \cdot \frac{d^2 y}{dx^2} = \frac{M_A - R_A x}{(1 + mx)^3}$$

$$= \frac{1}{m} \cdot \frac{m M_A + R_A}{(1 + mx)^3} - \frac{R_A}{m} \cdot \frac{1}{(1 + mx)^2}$$

となる。前と同様の端条件を用い、

$$y = k_2 \left\{ \frac{(1 + ml)}{(1 + mx)} - mx - (1 + ml) + (2 + ml) \log(1 + mx) \right\}$$

$$\dots\dots\dots (7)$$

(これを $= k_2 X$ とおく)

を得る。ここで $k_2 = \frac{M_A k}{l m^3}$, $R_A = \left(\frac{2}{l} + m\right) M_A$ で y_0 は M_A の中に含まれている。

(7) 式以降は m のいろいろな場合について数値計算を進める。くさび断面形状として次の五つの場合を考える。

$h_1/h_0 = 0$, $m = -1/l$ の場合 (ただし, $x \neq l$ とする)

$$y = k_2 \left\{ \frac{x}{l} + \log\left(1 - \frac{x}{l}\right) \right\} \dots\dots\dots (6-2)$$

$h_1/h_0 = 0.0625$, $m = -15/16l$ の場合

$$y = k_2 \left\{ \frac{l}{16l - 15x} + \frac{15}{16} \cdot \frac{x}{l} - \frac{1}{16} + \frac{17}{16} \log\left(1 - \frac{15}{16} \cdot \frac{x}{l}\right) \right\} \dots\dots\dots (6-3)$$

$h_1/h_0 = 1/4$, $m = -3/4l$ の場合

$$y = k_2 \left\{ \frac{l}{4(l - 0.75x)} + \frac{3x}{4l} - \frac{1}{4} + \frac{5}{4} \log\left(1 - \frac{3x}{4l}\right) \right\} \dots\dots\dots (6-4)$$

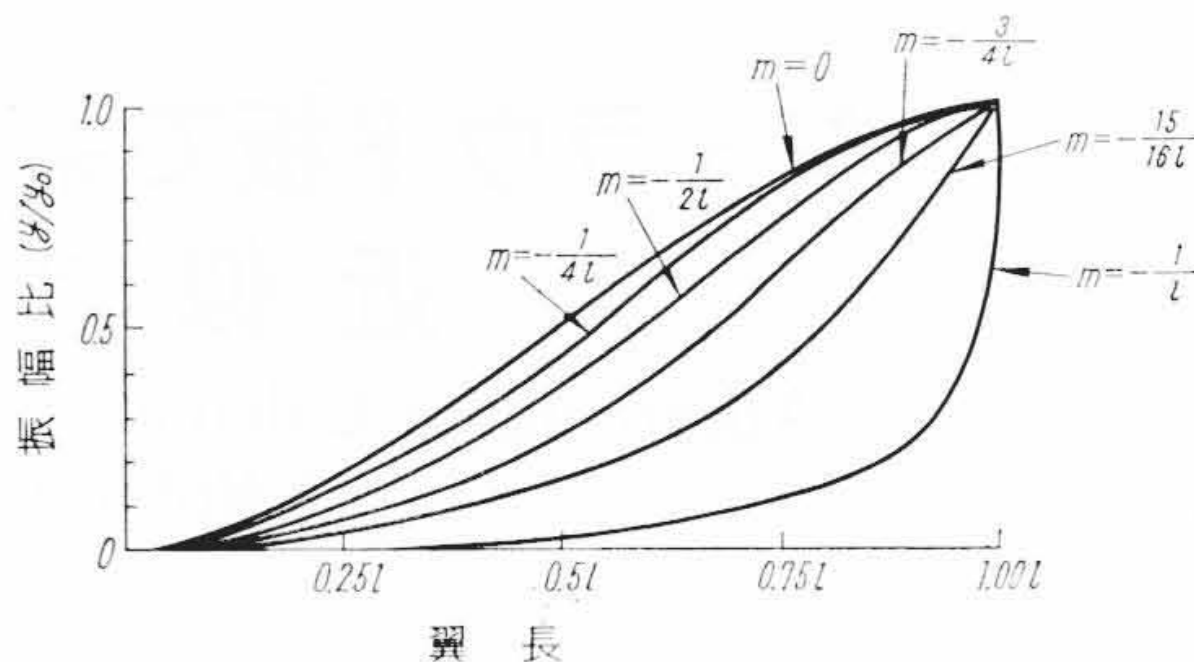
$h_1/h_0 = 2/4$, $m = -1/2l$ の場合

$$y = k_2 \left\{ \frac{l}{2(l - 0.5x)} + \frac{x}{2l} - \frac{1}{2} + \frac{3}{2} \log\left(1 - \frac{x}{2l}\right) \right\} \dots\dots\dots (6-5)$$

$h_1/h_0 = 3/4$, $m = -1/4l$ の場合

$$y = k_2 \left\{ \frac{3l}{4(l - 0.25x)} + \frac{x}{4l} - \frac{3}{4} + \frac{7}{4} \log\left(1 - \frac{x}{4l}\right) \right\} \dots\dots\dots (6-6)$$

(6-1) ~ (6-6) 式を用い、たわみ形状すなわち振幅分布を求めると第2図に示すようになり、当然のことながら m が大なほど翼端付近



第2図 くさび状翼のたわみ分布

の傾斜が大になることがわかる。

2.2 計算結果

(2) 式により B を計算する。まず均一面翼ではたわみは (6-1) 式で与えられるが、 B を計算するうえからは $k_5 = y_0/l^3$ を 1 としよく、(6-1) 式の代わりに $X = 3lx^2 - 2x^3$ としてよい。そこで (2) 式の分母は

$$\int_0^l X^2 dx = \frac{13}{35} l^7 \dots\dots\dots (8-1)$$

となる。分子は

$$\left(\frac{dX}{dx}\right) = 6lx - 6x^2$$

$$\int_0^x \left(\frac{dX}{dx}\right)^2 dx = 36 \left(\frac{l^2}{3} x^3 - \frac{l}{2} x^4 + \frac{1}{5} x^5 \right)$$

であるから

$$\text{分子} = \int_0^l (R+x) dx \int_0^x \left(\frac{dX}{dx}\right)^2 dx = R I_1 + I_2 \dots\dots\dots (8-2)$$

$I_1 = 3l^6/5$, $I_2 = 3l^7/7$ より

$$B = 1.615 \frac{R}{l} + 1.154 \dots\dots\dots (9)$$

となる。

くさび状翼に対しては、前記同様にして (7) 式で $k_2 = 1$ とおいて

$$X = \frac{1 + ml}{1 + mx} - mx - (1 + ml) + (2 + ml) \log(1 + mx)$$

とし分母を計算すると、

$$\text{分母} = \int_0^l (1 + mx) X^2 dx$$

$$= \frac{1}{m} \left[\frac{ml}{18} (-30 - 9ml + 65m^2l^2 + 43m^3l^3) + \frac{1}{6} (10 - 4ml - 51m^2l^2 - 50m^3l^3 - 13m^4l^4) \log(1 + ml) + \frac{1}{2} (4 + 12ml + 13m^2l^2 + 6m^3l^3 + m^4l^4) \{\log(1 + ml)\}^2 \right]$$

$$= I_0 \dots\dots\dots (10-1)$$

となる。分子は、

$$\left(\frac{dX}{dx}\right) = \frac{-m(1 + ml)}{(1 + mx)^2} - m + \frac{m(2 + ml)}{1 + mx}$$

$$\int_0^x \left(\frac{dX}{dx}\right)^2 dx = m \left\{ -\frac{(1 + ml)^2}{3(1 + mx)^3} + \frac{(1 + ml)(2 + ml)}{(1 + mx)^2} - \frac{6 + 6ml + m^2l^2}{1 + mx} - 2(2 + ml) \log(1 + mx) + mx + \frac{13 + 11ml + m^2l^2}{3} \right\}$$

であるから、

$$\text{分子} = \int_0^l (1 + mx) (R+x) dx \int_0^x \left(\frac{dX}{dx}\right)^2 dx$$

$$= R I_1 + (mR + 1) I_2 + m I_3 \dots\dots\dots (10-2)$$

$$I_1 = 10ml + 7m^2l^2 + \frac{1}{3}m^3l^3$$

$$- (10 + 12ml + 3m^2l^2) \log(1 + ml)$$

第1表 くさび状翼の遠心力係数計算値

翼厚比 = 先端厚 / 根元厚 $1+ml = h_1/h_0$	厚さこう配 $m = -(h_0 - h)/h_0 l$	遠心力係数 $B = B_1(R/l) + B_2$		備考: 翼端が自由な翼の遠心力係数 $B_{F1} = B_{F1}(R/l) + B_{F2}$			
		B_1	B_2	B_{F1}	B_{F2}	B_1/B_{F1}	B_2/B_{F2}
0.0	-1/l	(2.50)	(1.98)	2.000	1.333	(1.250)	(1.485)
0.0625	-15/16l	2.1982	1.7276	(1.903)	(1.318)	(1.155)	(1.310)
0.25	-3/4l	1.8246	1.3700	1.749	1.280	1.043	1.070
0.50	-1/2l	1.6912	1.2378	1.652	1.232	1.023	1.005
0.75	-1/4l	1.6391	1.1824	1.596	1.198	1.027	0.987
1.00	0	1.6154	1.1538	1.558	1.173	1.036	0.984

注: この計算値は1端固定1端ローラという条件での値である。
 ()内数値はカッコ以外の数値より推定した。
 $R/l=1.25$ なるときの B は, $h_1/h_0=1.00$ では 3.173, $h_1/h_0=0.5$ では 3.352 となる。

$$I_2 = \frac{1}{m} \left\{ -10 ml - 5 m^2 l^2 + \frac{5}{3} m^3 l^3 + \frac{1}{6} m^4 l^4 + (10 + 10 ml - m^3 l^3) \log(1 + ml) \right\}$$

$$I_3 = \frac{1}{m^2} \left\{ \frac{35}{3} ml + \frac{15}{2} m^2 l^2 + \frac{5}{9} m^3 l^3 + \frac{43}{36} m^4 l^4 + \frac{1}{9} m^5 l^5 - \frac{1}{3} (35 + 40 ml + 10 m^2 l^2 + 4 m^3 l^3 + 2 m^4 l^4) \log(1 + ml) \right\}$$

(10-1)式および(10-2)式を用いて m に 0 または $-1/l$ でない任意の値を与えて B を計算することができる。実際計算をするにあたってはつぎのようにすると便利である。

$$B = \frac{RI_1 + (mR+1)I_2 + mI_3}{I_0} = \frac{mRI_x + I_y}{I_0'} = B_1 \frac{R}{l} + B_2 \dots \dots \dots (11)$$

とする。ただし

$$I_0' = mI_0, \quad I_x = I_1 + mI_2, \quad I_y = mI_2 + m^2I_3$$

$$I_x = ml \left\{ ml \left(2 + 2ml + \frac{1}{6} m^2 l^2 \right) + (-2 - 3ml - m^2 l^2) \log(1 + ml) \right\}$$

$$I_y = ml \left(\frac{5}{3} + \frac{5}{2} ml + \frac{20}{9} m^2 l^2 + \frac{49}{36} m^3 l^3 + \frac{1}{9} m^4 l^4 \right) + \left(-\frac{5}{3} - \frac{10}{3} ml - \frac{10}{3} m^2 l^2 - \frac{7}{3} m^3 l^3 - \frac{2}{3} m^4 l^4 \right) \times \log(1 + ml)$$

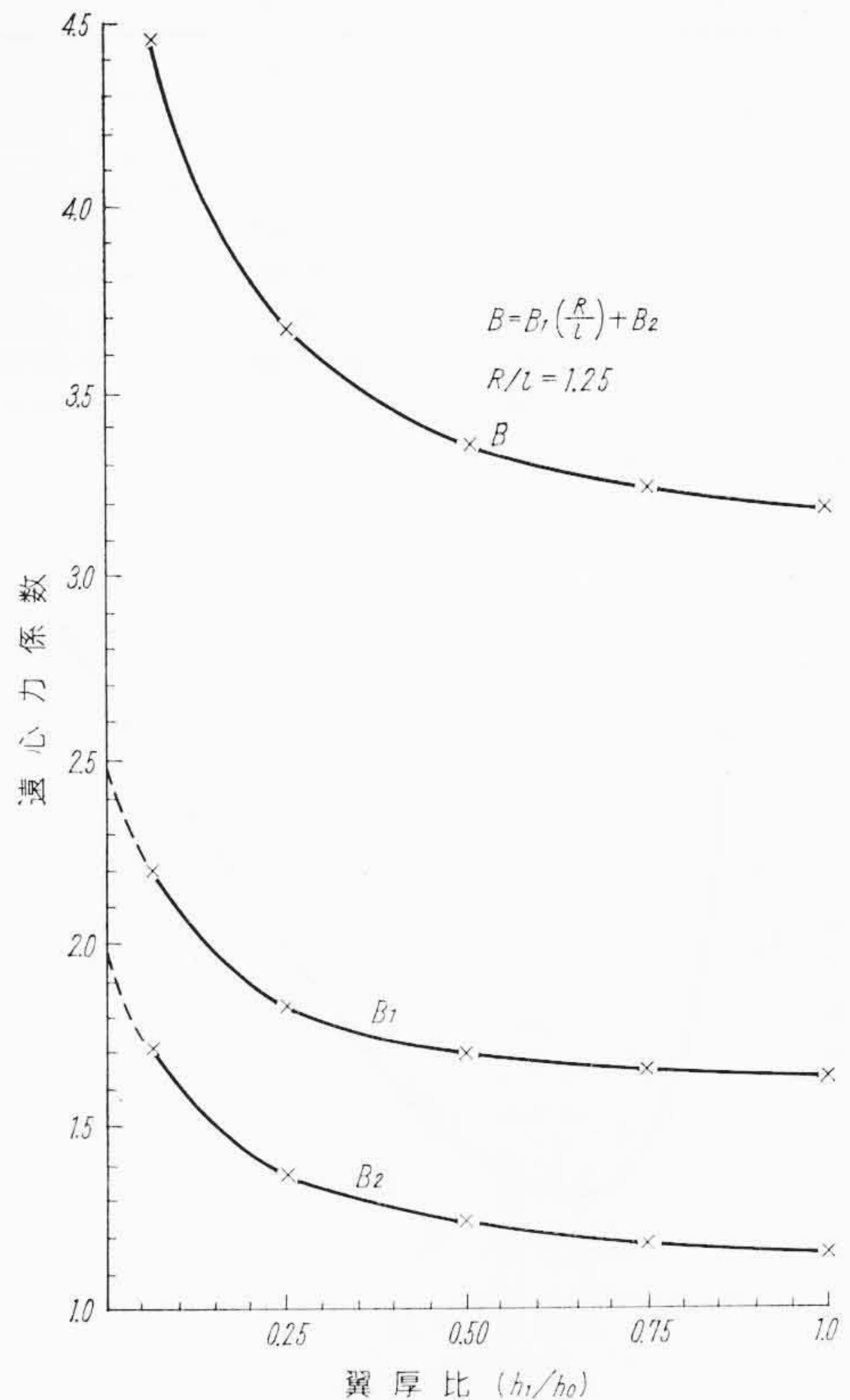
B_1 および B_2 は無次元係数である。

くさび状断面の形状を $m = -1/4l, -1/2l, -3/4l$ および $-15/16l$ の4種とし、これについて(11)式により B を定めるファクタ B_1 および B_2 を計算した結果を第1表に示す。第1表より翼端がこわさ無限大、質量0なるシュラウドで架構された翼の遠心力係数のファクタ B_1 および B_2 と翼端が自由な翼のファクタ B_{F1} および B_{F2} とを比較すると、翼厚比が0.5~1.00では B_1 と B_{F1} , B_2 と B_{F2} はいずれも数%以下の差で大体同様であり、翼厚比が0.5より小さくなると翼端架構の場合の係数が翼端自由の場合より大きくなり(特に第2のファクタ B_2 が大きい)、翼厚比0では B_1 は B_{F1} より約25%, B_2 は B_{F2} より約50%大きくなることわかる。

第1表の B_1 および B_2 を図示すると第3図のようになり、供試翼のボス半径と翼長の比を $R/l=1.25$ として B を求めた結果もあわせて記す。

3. 静止時の翼の振動数係数の計算

回転翼の振動数計算では静止時の振動数を(1)式のような近似式によらず、シュラウドのこわさや質量のほかにも翼数を考慮した正しい計算法より求めることが必要であるが、これは実際は煩雑で、設計上の目安としてはシュラウドのこわさが無限大で質量がないとし



第3図 翼厚比と遠心力係数

た特別な場合について、特定の翼の振動数係数を定めておく为好つごうである。この場合の振動数係数は一端固定他端ローラという条件のほりの振動数係数に等しい(均一断面はりについてはこの係数は既知で機械工学便覧に $\lambda_1=2.365$ という正しい値が与えられている)。この係数 λ がくさび状はりではどうなるかについて以下に計算してみる。まず翼は均一断面はりとして(1)式を計算する。(6-1)式より

$$y = k_5(3lx^2 - 2x^3) \quad \therefore y'' = 6k_5(l - 2x)$$

$$\int_0^l EI(y'')^2 dx = 12 EI k_5^2 l^3; \quad \int_0^l \gamma A y^2 dx = k_5^2 \frac{13}{35} l^3 \gamma A$$

$$f_0^2 = \frac{g}{(2\pi)^2} \cdot \frac{12 \times 35 EI}{l^3 \gamma A}; \quad f_0 = \frac{\lambda^2}{2\pi l^2} \sqrt{\frac{EI_g}{\gamma A}}$$

$$\lambda^2 = \sqrt{\frac{12 \times 35}{13}}; \quad \lambda = \left(\frac{420}{13} \right)^{\frac{1}{4}} = 2.384$$

となり、前記の正しい λ の値 2.365 とほぼ一致する(正しい値より0.8%高くなる)ことがわかる。はりの自重を考慮するときは、そのたわみとして均一分布荷重をもつ両端固定はりの左半分のたわみ曲線を用い、これに $x=0; y'=y=0$ および $x=l; y'=0, y=y_0=w^4/384 EI$ なる条件を入れてたわみの式を定めれば

$$y = \frac{y_0}{3} \left\{ 4 \left(\frac{x}{l} \right)^2 - 4 \left(\frac{x}{l} \right)^3 + \left(\frac{x}{l} \right)^4 \right\} \dots \dots \dots (12)$$

これを(1)式に入れ、 $\lambda=2.369$ をうる。この値は真の値 2.365 より約0.2%高い。

次にくさび状断面の場合の振動数係数を求める。(1)式の分母、分子の定積分をそれぞれ I_A および I_B とすると次のようになる。

$$I_A = \int_0^l EI \left(\frac{d^2 y}{dx^2} \right)^2 dx = EI_0 \int_0^l \left(\frac{d^2 y}{dx^2} \right)^2 (1 + mx)^3 dx$$

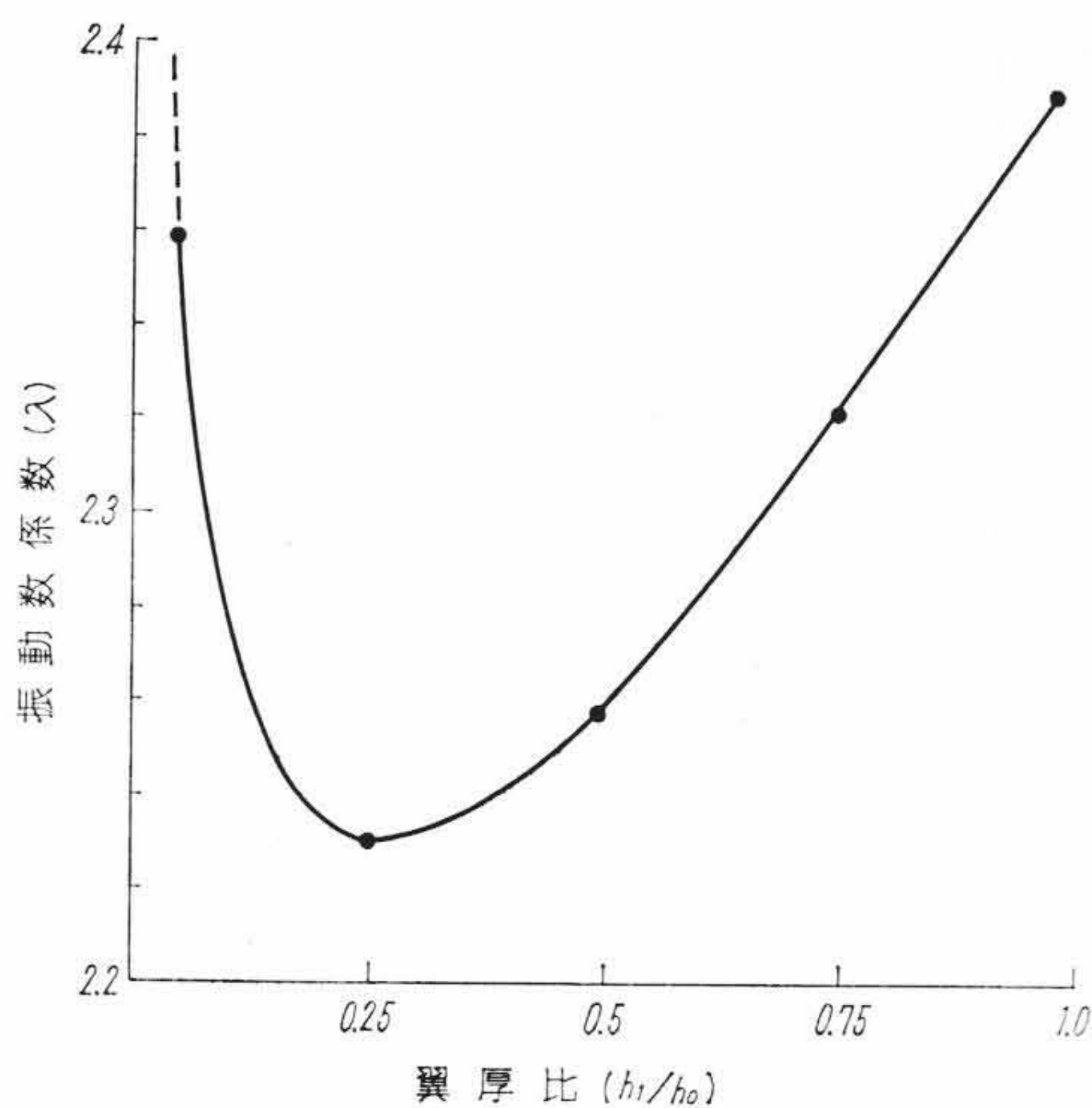
$$= EI_0 k_2^2 m^3 [-2ml(2+ml) + (2+ml)^2 \log(1+ml)]$$

$$= EI_0 k_2^2 m^3 I_A' \dots \dots \dots (13)$$

第2表 振動数係数 λ

翼厚比 h_1/h_0	厚さこう配 m	λ	備 考	
			I'_A	I'_B
0.0	-1/l	—	—	—
0.0625	-15/16 l	2.364	-1.137805	-2.81480 × 10 ⁻²
0.25	-3/4 l	2.229	-0.291084	-0.37288 × 10 ⁻²
0.50	-1/2 l	2.256	-0.059581	-1.43824 × 10 ⁻⁴
0.75	-1/4 l	2.316	-0.006026	-0.81778 × 10 ⁻⁶
1.00	0	2.384	—	—

備考: $h_1/h_0=1.00$ の場合の λ の正しい値は 2.365 である。



第4図 翼厚比と振動数係数

$$I_B = \gamma A_0 k_2^2 \left(\frac{1}{m} \right) \left[\frac{ml}{18} (-30 - 9ml + 65m^2l^2 + 43m^3l^3) + \frac{1}{6} (10 - 4ml - 51m^2l^2 - 50m^3l^3 - 13m^4l^4) \log(1 + ml) + \frac{1}{2} (4 + 12ml + 13m^2l^2 + 6m^3l^3 + m^4l^4) \{ \log(1 + ml) \}^2 \right]$$

$$= \frac{\gamma A_0 k_2^2 I_B'}{m} \dots \dots \dots (14)$$

$$(1) \text{式} = \frac{g}{(2\pi)^2} \cdot \frac{I_A}{I_B} = \frac{g}{(2\pi)^2} \cdot \frac{EI_0 m^4}{\gamma A_0} \cdot \frac{I_A'}{I_B'}$$

$$= \frac{g}{(2\pi)^2} \cdot \frac{EI_0}{\gamma A_0 l^4} \cdot \frac{m^4 l^4 I_A'}{I_B'} \dots \dots \dots (15)$$

これを

$$\frac{g}{(2\pi)^2} \cdot \frac{EI_0}{l^4 \gamma A_0} \lambda^4$$

とおく。

$$\lambda^4 = l^4 m^4 \frac{I_A'}{I_B'} \dots \dots \dots (16)$$

となり、(16)式右边を計算すれば振動数係数 λ を定めることができる。計算結果を第2表および第4図に示す。

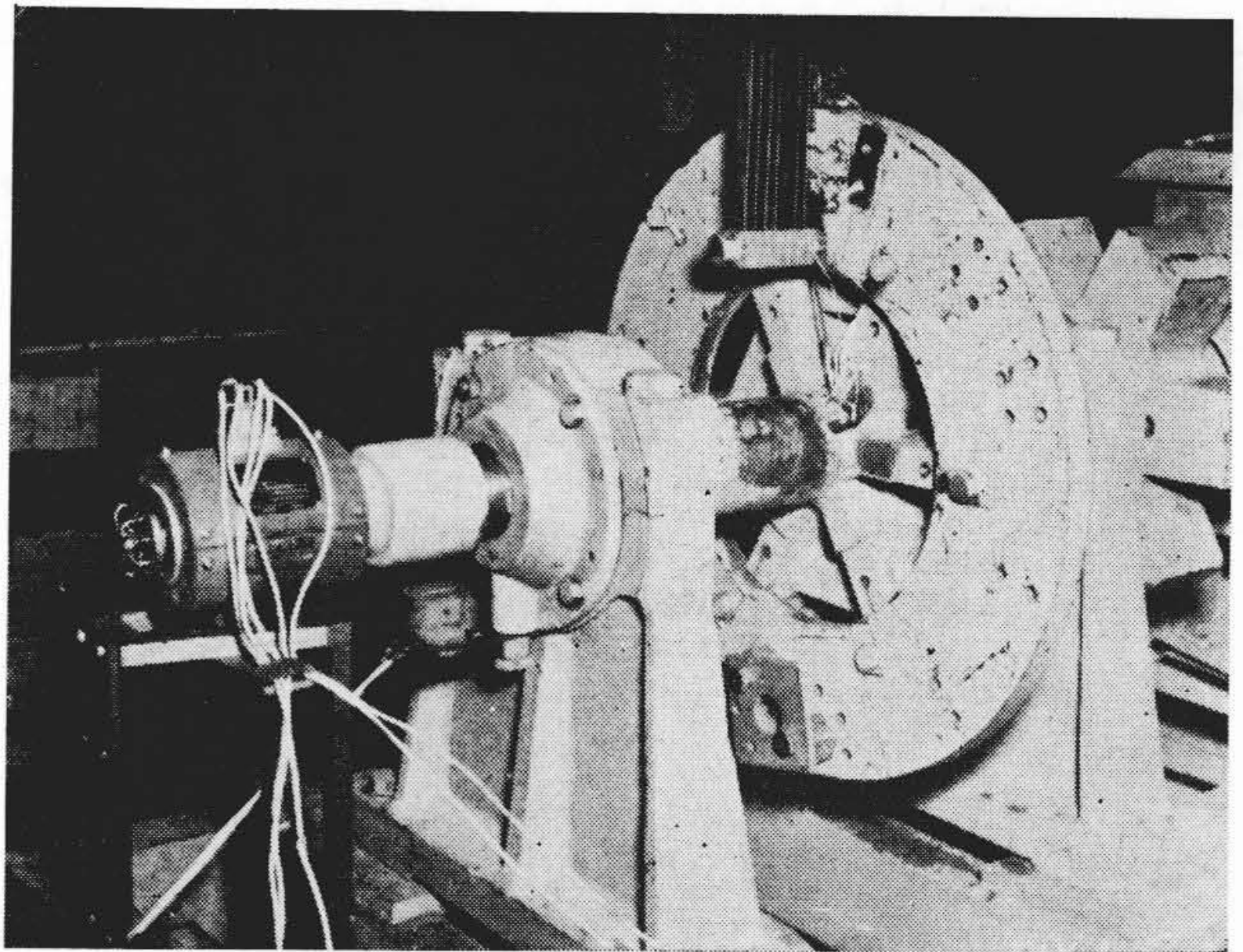
4. 回転翼の振動数に関する実験

4.1 実験方法

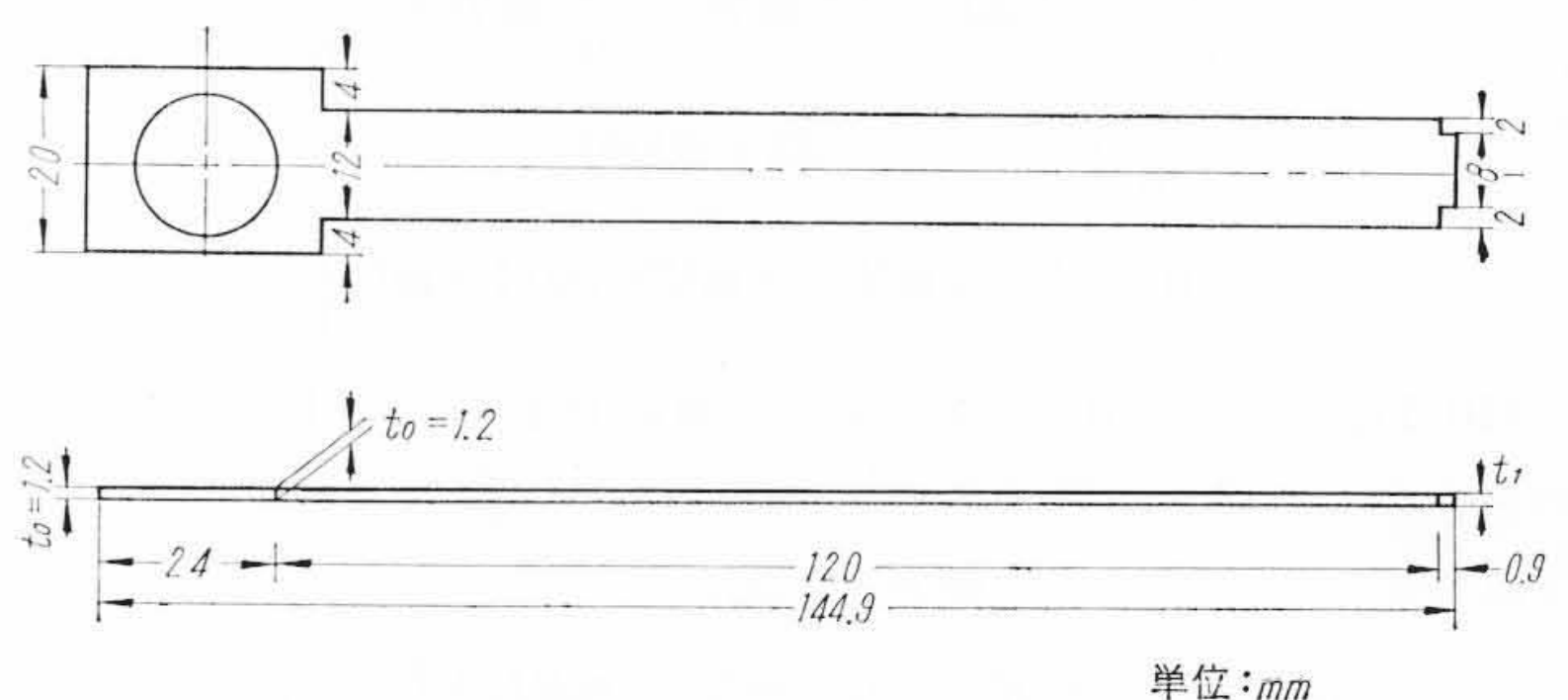
4.1.1 装置

第5図に回転翼の振動の測定装置を示す。

供試翼として第6図に示すような翼長 120 mm, 幅 12 mm で厚さが均一のもの、翼端の厚さが直線状に根元の 1/2 になったもの ($h_1/h_0=1/2, m=-1/2l$) の2種を各7枚作り、これらを7枚一群として、第7図に示す幅が翼幅に等しく、厚さの異なったシュラウド板で、各翼間が平行で、かつ等間隔に、振動面が回転面と一致するように架構して4種の翼群を作り、第8図のように車盤に組み立てた。この翼の加振は車盤に取り付けた電磁石 (この

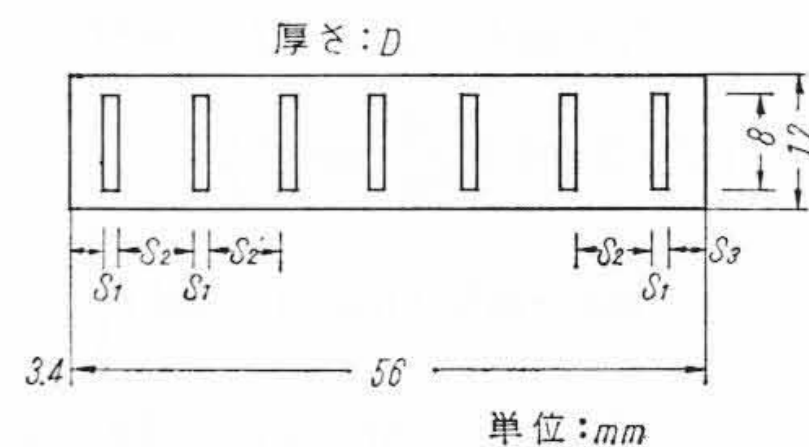


第5図 回転翼振動測定装置



軟鋼板、均一断面翼 $t_0=t_1=1.2$ およびくさび状翼 $t_0=1.2, t_1=0.6-2$ 種、数字の単位は mm 以下同様

第6図 供試翼



Mo.	寸 法				翼に対する剛化	備 考
	S ₁	S ₂	S ₃	D		
1	1.2	6.8	3.4	0.69	3.35	均一断面翼の翼厚の0.57倍の厚さのシュラウド
2	1.2	6.8	3.4	0.44	0.87	均一断面翼の翼厚の0.37倍の厚さのシュラウド
3	0.6	7.4	4.0	0.67	5.49	くさび状翼の翼端厚の1.1倍の厚さのシュラウド
4	0.6	7.4	4.0	0.39	1.08	くさび状翼の翼端厚の0.65倍の厚さのシュラウド

第7図 供試シュラウド板

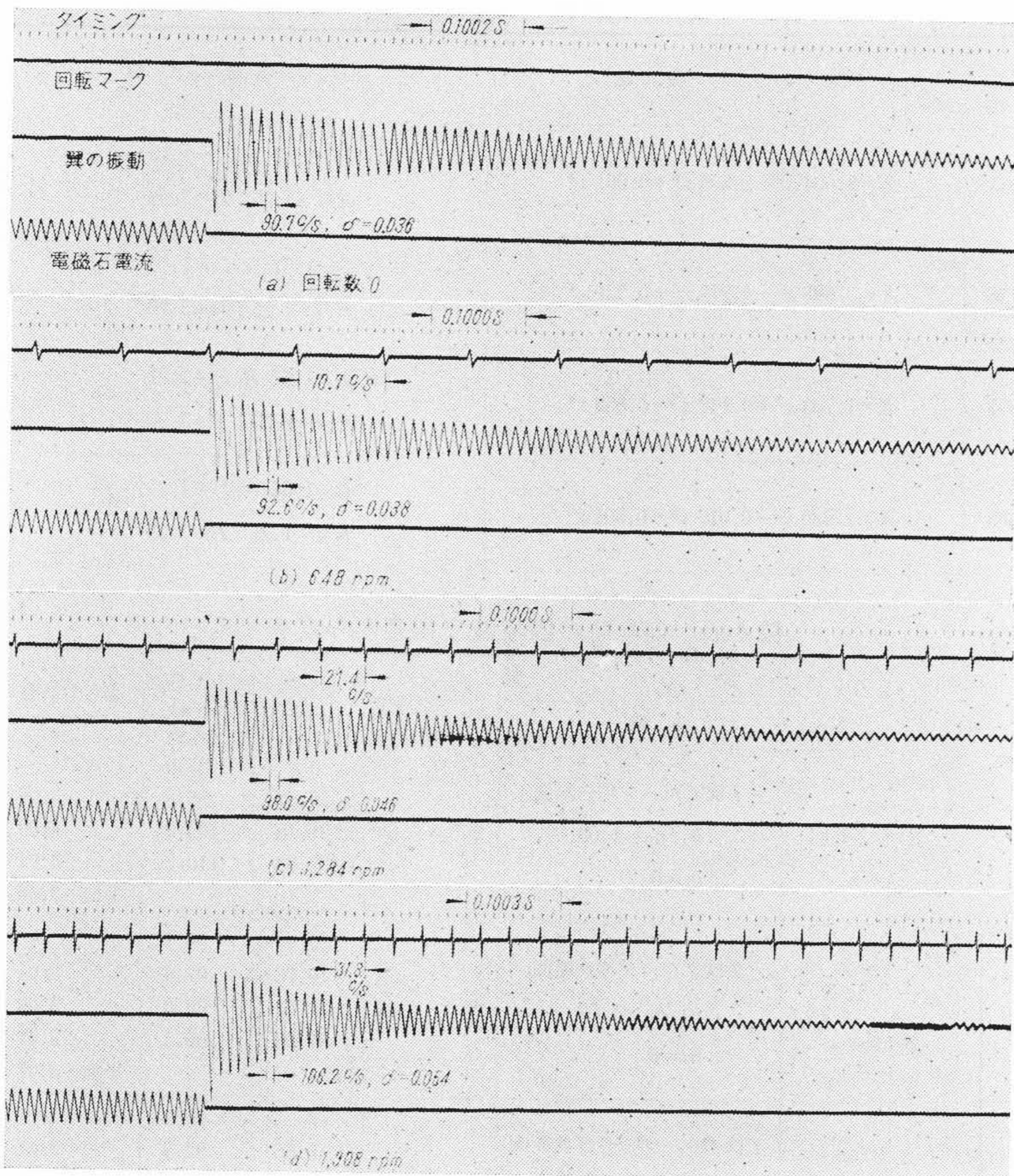
交流電力は回転軸端に設置したスリップリングを通して与えられる) により与え、翼の振動は電磁石を利用した電磁形ピックアップおよびその下方、翼面に対向して車盤に取り付けた容量形振動計ピックアップ (電極板) により電流変化としたのちスリップリングを通して、電磁オシログラフに導いて測定した。

4.1.2 静止時の振動測定

まず、静止時の翼の固有振動数を知る必要あり、これは翼を加振し、その基本振動数で共振状態となったとき、電磁石の入力を切って生ずる減衰固有振動をオシログラムに撮影して定めた。また振動モードすなわち翼長に対する振幅分布 (たわみ曲線) は、加振側より3枚目の翼についてこの翼の側面8個所の共振状態における振幅の大きさを顕微鏡により直接読みとって定めた。

4.1.3 回転時の振動測定

前記2種の翼群を取り付けた車盤を直流電動機により回転し、回転数約 650, 約 1,300 および約 1,950 rpm において、翼を電磁石により加振し、翼が基本振動の振動数で共振状態になるのを容量



翼種 No.2 均一断面7枚グループ翼
第10図 回転時の翼の減衰固有振動オシログラム

3表に示す静止時の振動たわみ曲線より求めた値と比較し、いくらか低めであるが、大差がないことがわかる。

以上に記した遠心力係数の計算値および実測値を一括して図示すれば第11図のようになる。図より、シュラウド板が質量0、こわさ無限大という条件の翼（すなわち1端固定1端ローラという境界条件を有するはり）の遠心力係数の近似計算値は少なくとも本実験におけるシュラウド板に対する架構翼群に対しては、誤差数%で一致することがわかる。

5. 結果の検討

5.1 計算結果の検討

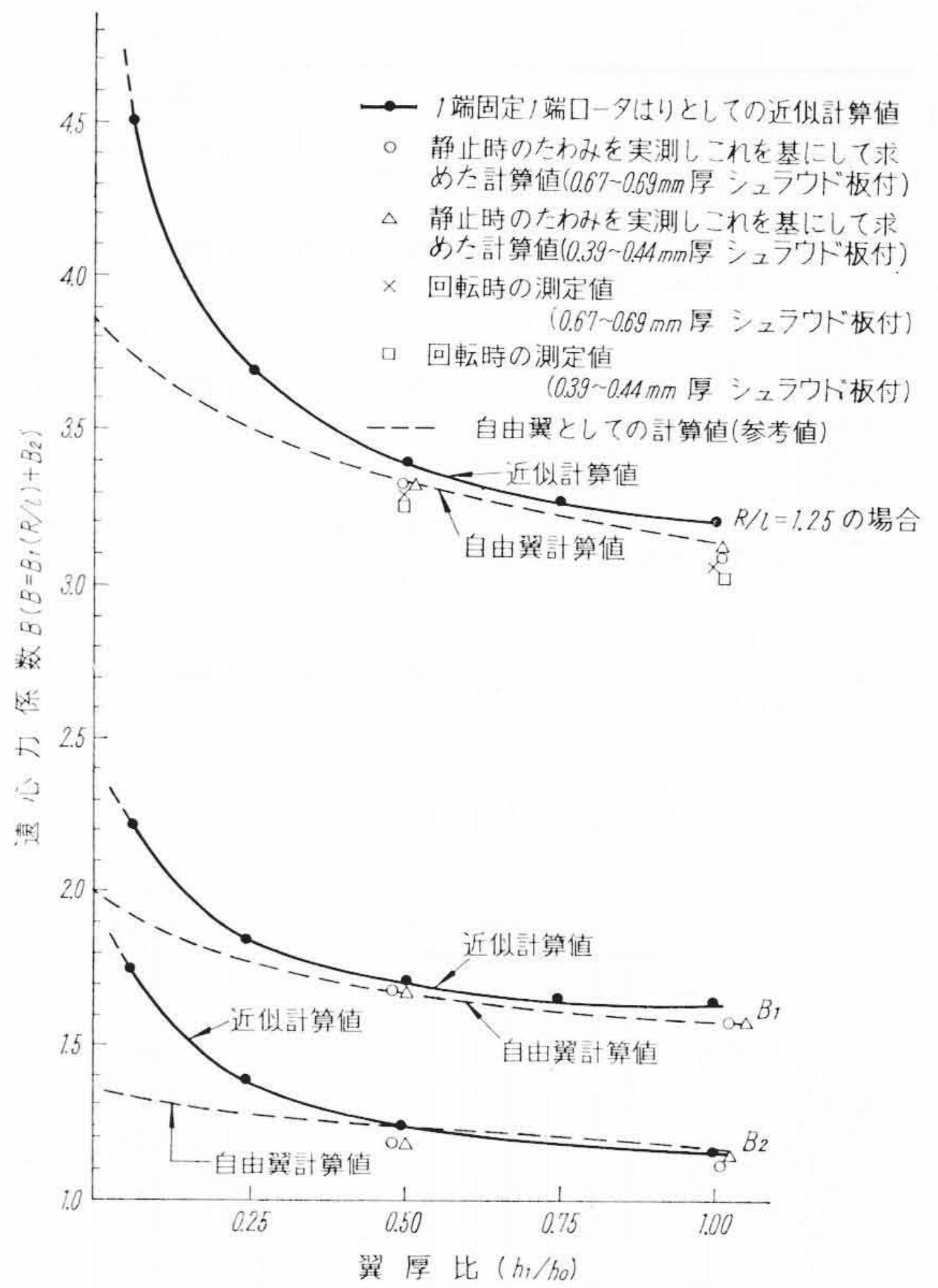
第1表で遠心力係数として翼厚比1すなわち均一断面翼の場合には、 $B_1=1.6154$, $B_2=1.1538$ なる値が得られた。この値はたわみが自重によるものでなく、ローラ端に集中荷重とモーメントが作用して生ずるものとして求めた値である。振動のたわみは厳密には回転中のたわみを採用すべきであるが、これはわからないので便宜上静止時で、しかも上記の条件から定まる集中荷重によるものでない自重によるものを採用すれば（このほうが真の振動のたわみに近い）、(6-1)式の代わりに

$$y = \frac{K}{l^4} (4x^2l^2 - 4x^3l + x^4) \dots\dots\dots (12)'$$

なる式を採用すればよい（この式は長さ2lの均一断面両端固定はりの左半分を表わす式である）。(12)'式と(2)式よりBを求めれば

$$B = 1.6323 \frac{R}{l} + 1.1520$$

なる値が得られる。この値は前記値と1%程度の差しかないから、たわみ曲線は自重によるものを用いても、集中荷重によるものを用いても大差ないことがわかる。ただし先薄断面翼についてもこうな



第11図 遠心力係数の計算値と測定値の比較

るかどうかわからない。

なおシュラウド板で架構された翼には根元固定先端支持あるいは極端な場合は両端固定の振動形の振動も生じ得る。この場合の係数はどうなるであろうか。均一断面翼の場合、前者に対するたわみは

$$y = \frac{K}{l^4} (3l^2x^2 - 5lx^3 + 2x^4) \dots\dots\dots (13)'$$

であり、(2)式より係数を求めると、

$$B = 4.2653 \frac{R}{l} + 2.8955$$

となる。すなわちローラ端あるいは自由端を有する翼の係数より約2.6倍大になる。次に後者の場合はたわみ曲線は

$$y = \frac{K}{l^4} (l^2x^2 - 2lx^3 + x^4) \dots\dots\dots (14)'$$

となり、係数は

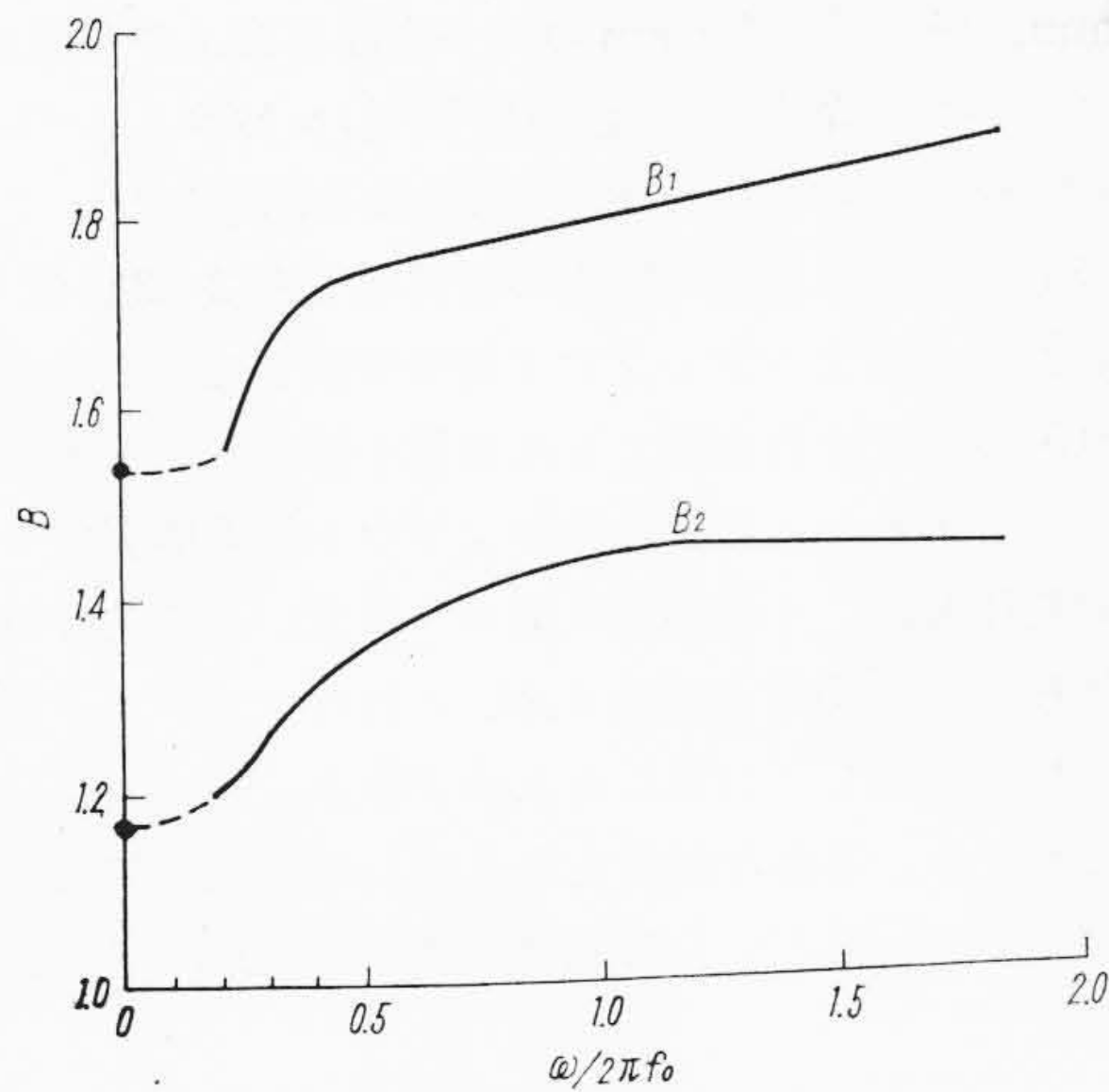
$$B = 6.000 \frac{R}{l} + 4.000$$

となり、ローラ端あるいは自由端の場合の係数より約3.5倍大となる。

本計算ではシュラウドの質量を0としたが、実際は若干の質量を有している。自由翼の場合では翼端に集中質量が付着していれば遠心力係数はいくらか低くなる。極端の場合自重0のはりの先端のみ集中質量のある状態での係数は(2)式と同様の計算によれば

$$B = 1.000 \frac{R}{l} + 1.000$$

となる。実際のタービン翼ではシュラウド板の翼1本あたりに対する質量は翼の質量の2~3%程度である。本供試翼の場合、シュラウド板の質量は翼の3.3%(No.1翼)および2.1%(No.2翼)である。したがって、この質量を考慮した場合の係数の低下は B_1 で2%程度、 B_2 で0.5%程度であり、シュラウド板の質量の係数に及ぼす効果は実際上無視してよいであろう。



静たわみ曲線を用いた場合の係数は $B_1=1.558$, $B_2=1.137$ であり, 振動たわみ曲線を用いた場合の係数は $B_1=1.540$, $B_2=1.150$ となり, 後者の場合がいくらか値が小さい。

第 12 図 回転速度と遠心力係数の関係 (均一断面自由翼についての計算)

5.2 計算式について

(3)式は近似式であり⁽⁶⁾, B は回転速度に無関係な係数となっている。厳密には B は回転速度によって変わるであろう。というのは, (2)式で y として静たわみを用いているが, 正しくは回転時のたわみを用いるべきであって回転時のたわみは回転速度によって変わってくるからである。(2)式とは別な計算方法によって⁽⁷⁾, 均一断面片持りの係数を求めると (はりを7等分に分割し, 根元から翼長の6/7, 4/7 および 2/7の各位置に, それぞれ翼自重の2/7の三つの質量が, 無質量でこわさのみあるはりに付着したとした3質点系としてのはりに近似置換して, 回転中の固有振動数を求め, この結果より B_1 および B_2 を定める方法による), 第12図のような結果が得られる。これより静たわみをもとにして(2)式より得られる係数は, 回転速度と静止時固有振動数の比 $\omega/2\pi f_0$ が0.0~0.2のときに相当することになる。實際上タービン翼で係数が考慮されるのは $\omega/2\pi f_0$ が0.15~0.5ぐらいの場合が多い。したがって実用上は(2)式により定めた係数を用いて, 回転時の固有振動数を計算して大なる誤りはないと考えてよいであろう。

5.3 実験結果の検討

5.3.1 翼種 No.(1), No.(2) の振幅分布と遠心力係数

第9図に示すように, 共振時における振幅分布の測定値と近似計算値とを比較すると, 均一断面翼 No.(1) および No.(2) では, 計算値の振幅比は翼端付近で特に実験値より大きくなっている。これは計算値が1端固定, 1端ローラという特殊条件を前提としているため, 翼端に生ずる曲げモーメントが実際より過大となるからで, 当然予期されることである。

遠心力係数は第11図の B_1 および B_2 に見るように, 静止時のたわみより求めた計算値が実測値 ($h_1/h_0=1.0$ における○, △印)よりいくらか高くなってしまふのは前記の理由によると考えられる。しかし, この差は試料 No.(1) (厚さ 0.69 mm シュラウド板) では B_1 で $\frac{1.615-1.57}{1.615}=2.8(\%)$ であり, B_2 で $\frac{1.154-1.13}{1.154}=2.1(\%)$ である。また, 試料 No.(2) (厚さ 0.44 mm のシュラウド板) では B_1 で $\frac{1.615-1.57}{1.615}=2.8(\%)$, B_2 で $\frac{1.154-1.14}{1.154}=1.4(\%)$ であるから, 比較的小さい。したがって, 遠心力係数は前記の特殊条件の近似計算によっても, 翼を静止状態で共振振動させ, たわみ分布を求めて計算しても大差はないといえる。なお試料(1)および(2)に対する剛比 β

$$\beta = \frac{n}{m} = \frac{\text{シュラウド板の断面2次モーメント}}{1 \text{ スパンのシュラウド板の長さ}} \div \frac{\text{翼の断面2次モーメント}}{\text{翼の長さ}}$$

は第7図の中に記したようにそれぞれ 3.35 および 0.87 であり, 翼種 No.(3) および No.(4) の剛比はそれぞれ 5.49 および 1.08 である (ただし, この場合翼の断面2次モーメントは根元, 中央, 翼端3点の和の算術平均をとってある)。本実験により得られた遠心力係数は剛比がこの範囲での値であることに注意する必要がある。次に第11図より, $h_1/h_0=1$, $R/l=1.25$ なる場合の遠心力係数の実験値 (図の×□印) と近似計算値との差は比較的小さく, その値は (第1, 4表参照), No.(1)翼で $\frac{3.174-3.06}{3.174}=3.6(\%)$, No.(2)翼で $\frac{3.174-3.01}{3.174}=5.1(\%)$ となることがわかる。これより剛比が 0.87~3.3 であるシュラウド板架構均一断面翼の遠心力係数の実測値は1端固定1端ローラはりとして計算した翼の遠心力係数に比較し, 4~5% 低くなることわかる。

5.3.2 翼種 No.(3), No.(4) の振幅分布と遠心力係数

くさび状翼である試料 No.(3) および No.(4) について近似計算値と実験値を比較する。第9図に示すように, 振幅比が翼端付近で計算値が実験値より大きくなることは均一断面翼の場合と同様で, この理由は計算上翼端に加わる曲げモーメントが実際より過大に評価されているからである。根元付近で振幅比の計算値が比較的小さいのは, 翼端から加わるモーメントによるたわみの拘束の影響が根元付近に至ってきわめて小さくなるためと考えられる。

遠心力係数については, 第11図の曲線 B_1, B_2 に見るように静止時のたわみより求めた計算値 ($h_1/h_0=0.50$ における○, △印)はいずれも近似計算値より少し低いと一致しているといえる。その差は試料 No.(3) (厚さ 0.67 mm のシュラウド板) では B_1 は $\frac{1.691-1.67}{1.691}=1.2(\%)$ であり, B_2 は $\frac{1.238-1.21}{1.238}=1.5(\%)$ である。

また第11図より, $h_1/h_0=0.5$, $R/l=1.25$ なる場合の遠心力係数の実験値 (図の×, □印) と近似計算値との差は比較的小さく, その値は (第1, 4表参照) No.(3)翼では $\frac{3.352-3.28}{3.352}=2.1(\%)$, No.(4)翼では $\frac{3.352-3.24}{3.352}=3.3(\%)$ となることわかる。

第11図をみると遠心力係数の実験値は翼厚比が 1.00 および 0.5 の場合では, とともに近似計算値よりむしろ, 自由翼としての計算値に近い。したがって, この剛比のシュラウド板で架構した翼の遠心力係数は計算上翼厚比が 0.5~1.00 の場合は自由翼としての遠心力係数の値を採用してよいことがわかる。

翼厚比が 0.5 より小さい場合の実験値がはたして近似計算値に近くなるかあるいは, 自由翼としての計算値に近くなるかについては, 本実験では架構翼の組立工作上の困難があって行っていない。これについては次の機会に明らかにしたい。

5.3.3 振動数係数

静止時の固有振動数は第4表に示すように翼種 No.(1), (2), (3) および (4) に対しそれぞれ 95.0, 90.7, 90.2 および 92.5 c/s である。これらの値を f_0 とし, 翼根本の断面2次モーメントおよび断面積をそれぞれ I_0 および A_0 とすると

$$\lambda = \left[\frac{2\pi l^2 f_0}{\sqrt{\frac{EI_0 g}{\gamma A_0}}} \right]^{\frac{1}{2}}$$

なる関係より, 翼種 No.(1), (2), (3) および (4) に対して上記 λ の値はそれぞれ 2.201, 2.151, 2.145 および 2.172 となる。このうち前の二つの値は第2表の $h_1/h_0=1.00$ の値 2.384 より 2.3~4.4% 低く, あとの二つの値は第2表の $h_1/h_0=0.500$ の値 2.256 よ

り4.8~3.7%低くなる。実験値が計算値より低いのは計算でシュラウド板の質量を0とし、こわさを無限大としたからで、実際は質量は0でなく、こわさも無限大でなく、この条件のうち前者は翼の質量を増すように作用し、後者は翼端の拘束を減ずることに作用するもので、いずれも翼の固有振動数を低下する効果によるものと解釈される。なお対数減衰率は、初期変位から第6波と第20波の平均をとれば第10図に示すように、静止時 $\delta=0.036$ に対し、回転中は回転速度の高いほど増加し、1,908 rpmで $\delta=0.054$ となっている。この増加は主として回転中作用する空気の抵抗力が、翼と空気との相対速度に比例した粘性抵抗的性質を示すためであると考えられる。

6. 結 言

シュラウド板で架構した翼の固有振動数が回転中遠心力のため静止時に比較しどう変わるかを明らかにするため、遠心力係数の計算と実験を均一断面およびくさび状先薄断面翼について行なった。シュラウド板の質量を0、こわさを無限大とした近似的条件すなわち、1端固定1端ローラという条件で、既知の計算法により遠心力係数を求め、これと自由翼の場合の計算値と比較した。その結果遠心力係数は翼厚比が1.00~0.25の範囲では差が数%で一致するが(架構のほうがだいたい高くなる)、翼厚比が0.25より小さくなると架構翼の遠心力係数が数十%高くなった。7枚を1群として架構した、

翼長120mm、根元厚さ1.2mmの均一断面翼および翼厚比0.5のくさび状翼について、 R/l (翼根元半径/翼長)=1.25として回転数0~1,950 rpmにおいて翼の1次の固有振動数を測定した。この結果より求めた遠心力係数は前記架構翼の計算値より2~3%低くなるが、ほぼ一致した。これよりシュラウド板で架構した翼の遠心力係数は翼厚比が0.5~1.0では自由翼としての値を採用しても大なる誤差はないということがわかった。なおシュラウド板架構翼の1次固有振動数の振動数係数は、1端固定1端ローラという端条件の翼の場合の係数に比較し、2~5%低かったが、これはシュラウド板の質量とこわさの効果を無視して計算したためである。

本研究にあたり、有益な助言を与えられた東京工業大学谷口修教授、ごべんたつをいただいた日立研究所北川部長に厚くお礼申しあげる。

参 考 文 献

- (1) M. A. Prohl: Trans of ASME., 169-180 (1958)
- (2) 藤野, 河野: 日本機械学会論文集, 23, 533~537 (昭32-7)
- (3) 小堀: 日本機械学会誌, 56, 326~332 (昭28-6)
- (4) 小堀, 大森: 日立評論, 42, No. 5, 527-533 (昭35-5)
- (5) エス・ティモンエンコ, 谷下訳: 工業振動学, 321~322 (昭27-8, コロナ社)
- (6) 妹沢, 内田: 航研い報, 14, 181 (1939)
- (7) W. T. Thomson: Mechanical Vibrations., p.190 (1960 Prentice-Hall, Inc.)



特 許 の 紹 介



特許第248253号 (特公昭33-7333)
特許第289081号 (特公昭36-13476)

{ 沢 田 良 嘉・鈴 木 喜 久
{ 高 田 昇 平・関 口 存 哉

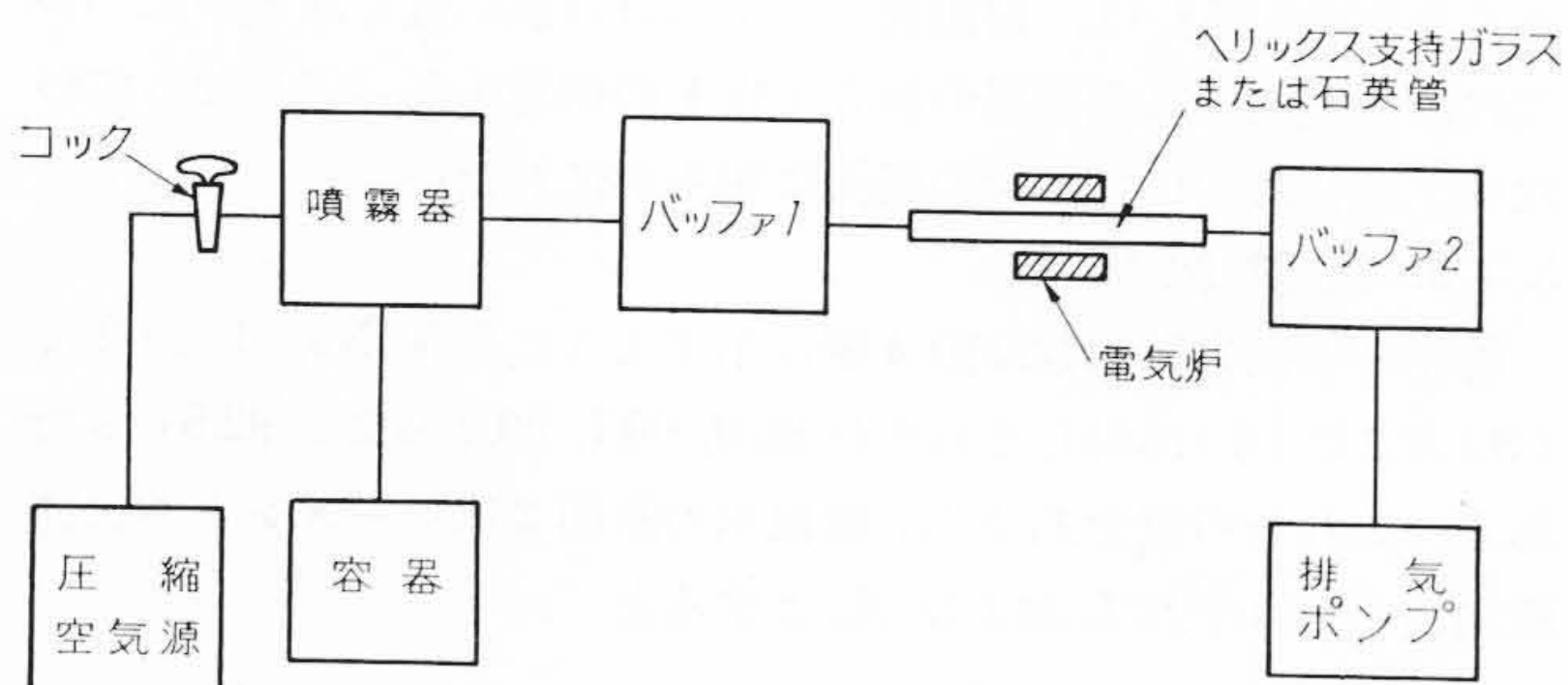
進行波管における発振防止減衰部 (及びその製法)

一般に進行波管において、ヘリックス支持ガラスまたは石英管などにおける発振防止用減衰層はアカダックの塗布あるいは金属膜の蒸着などにより形成せられていたが、これらの減衰層はヘリックスのそう入、あるいは振動などによりはく離しやすい欠点があった。

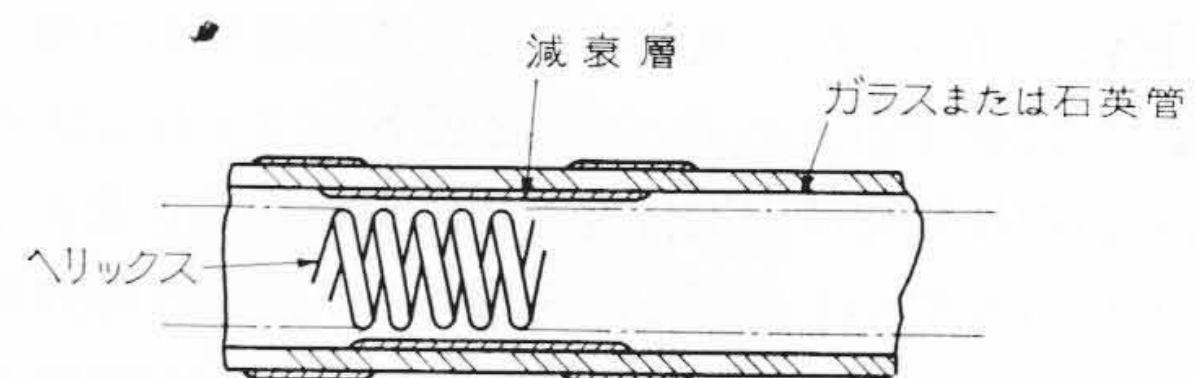
この発明は上記減衰層をネサ処理によって形成したものであって、第1図に示すように容器内の塩化錫を主成分とする溶液を噴霧器で吸い揚げ、圧縮空気源からコックを介して送られる空気により

微細な霧をつくりバッファ1に貯える。一方排気ポンプによりバッファ2に真空部分をつくると、両バッファの圧力差により、たとえば支持石英管内に前記塩化錫溶液の霧の流れをつくり、ここで上記石英管を電気炉で加熱すれば管内に減衰層を形成することができる(特許第248253号)。このようにして得られた発振防止減衰部(特許第289081号)の構成例は第2図および第3図に示すとおりであり、きわめて安定にして強固な減衰部が得られる特長がある。

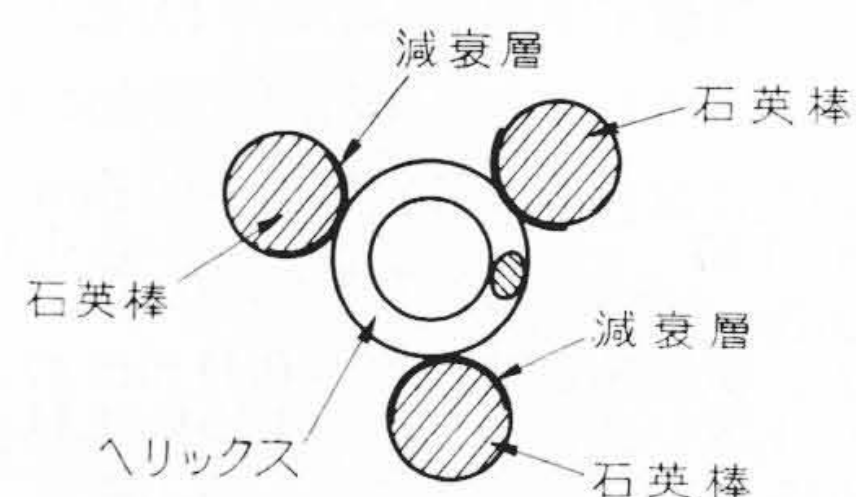
(水本)



第1図



第2図



第3図